

ارزیابی نرمی اعضای بتنی پیش‌تنیده

علیرضا خالو^{*} و پویا باقری صادقی^{**}

دانشکده مهندسی عمران، دانشگاه صنعتی شریف

(دریافت مقاله: ۱۳۷۶/۱۲/۲۵ - دریافت نسخه‌نهایی: ۱۳۷۷/۱۱/۲۱)

چکیده - در این تحقیق رفتار ممان - انحنا و نرمی با استفاده از تحلیل غیرخطی روی مقاطع اعضای بتن پیش‌تنیده بررسی شده است. در این راستا اثر پارامترهای مختلف طراحی روی نرمی اعضای خمشی با استفاده از مدل مصالح شامل منحنیهای تنش - کرنش بتن و فولادهای پیش‌تنیدگی و معمولی تعیین شده است. متغیرهای مورد بررسی شامل اندیس فولادگذاری (π) مقاومت فشاری بتن، نسبت پیش‌تنیدگی جزئی (PPR)، مقدار تنش پیش‌تنیدگی مؤثر (f_{pe})، محصور شدگی، نسبت فولاد فشاری (γ)، شکل مقطع و نوع فولاد پیش‌تنیدگی است. اندیس فولادگذاری مؤثرترین پارامتر روی نرمی خمشی است. این متغیر اثرات چندین متغیر دیگر مانند مقاومت فشاری بتن و نسبت فولادگذاری را دربرمی‌گیرد. در حداقل اندیس فولادگذاری بر اساس آین نامه ACI ($0.36\beta_1$) نرمی انحنای بین $1/5$ تا $1/15$ و در $3/2$ برابر $2/0$ که حداقل مقدار برای امکان باز توزیع لنگر خمشی است، مقادیر بالاتر از $10/0$ و نرمی $4/0$ و بالاتر برای مقادیر $3/0$ کمتر از $10/0$ قابل حصول است. اثر مقاومت نهایی فولاد پیش‌تنیدگی و شکل مقطع روی نرمی نامحسوس است. اثر محصور شدگی روی نرمی قابل توجه است.

Ductility Evaluation of Prestressed Concrete Members

Ali R. Khaloo, and P. Bagheri,

Department of Civil Engineering, Sharif University of Technology

ABSTRACT- In this paper, moment-curvature behavior and ductility of prestressed concrete members based on nonlinear analysis is investigated. Influence of various design parameters on ductility of flexural members is determined according to appropriate materials models for stress-strain curves of concrete, prestressing steel and conventional reinforcement. Parameters studied include reinforcing index (π), compressive strength of concrete, partial prestressing ratio, effective prestressing stress, confinement, compressive steel ratio, type of prestressing steel and cross-sectional shape of members. The reinforcing index is the most influential parameter on ductility of prestressed members. This variable contains the influence of several other parameters, such as compressive strength of concrete and reinforcing ratio, and links prestressed, ordinary reinforced and partially prestressed concrete sections. For maximum permissible reinforcing index of $0.36\beta_1$ based on ACI design code, curvature ductility is between 1.5 to 3.0 and for $\pi=0.2$, which is the maximum value allowed for moment redistribution, ductility is greater than 4.0, and for π less than 0.1, a ductility of greater than 10.0 is achievable. Influence of magnitude of ultimate strength of prestressing steel and cross-sectional shape on ductility is insignificant. Confinement has considerable effect on ductility.

* استاد ** کارشناس ارشد

فهرست علامت

| | | | | |
|---|---------------------------------------|---|--|--|
| معمولی در مقاومت خمسمی اسمی مقطع | f_{pu} | الخمسمی اسمی مقطع فاصله بین دورترین تار فشاری | d_p | سطح مقطع فولاد پیش تبیدگی A _{ps} |
| مقاومت نهایی فولاد مقاومت تسیلیم فولاد مقاومت نهایی فولاد ضرایب ثابت وابسته به مقاومت نهایی فولاد پیش تبیدگی (شکل ۲ و جدول ۱) | f'_c f_y f_u Q, N, K | تا مرکز سطح فولاد پیش تبیدگی تنش کششی در فولاد پیش تبیده در مقاومت خمسمی اسمی مقطع تنش کششی در فولاد کششی معمولی در مقاومت خمسمی اسمی مقطع تنش فشاری در فولاد فشاری | f_{ps} f_b f_d f_e f_s | معمولی سطح مقطع فولاد فشاری عرض بال در مقاطع بالدار و یا عرض در مقطع مستطیلی فاصله بین دورترین تار فشاری تا مرکز سطح فولاد کششی فاصله دورترین تار فشاری در بتن از مرکز سطح نیروی کششی در فولاد در مقاومت |

پارامترهای مورد تحلیل و فرضیات مربوطه است.

۱- مقدمه

علاوه بر مقاومت و قابلیت بھربرداری در طراحی سازه‌ها توجه به فراهم‌آوری نرمی حائز اهمیت است. اطمینان از رفتار نرم و تغییر مکانهای زیاد سازه در حالت بارهای نهایی هشدار قلبی و جلوگیری از خرابی و امکان بار توزیع لنگر خمسمی را فراهم می‌آورد. اکثر آین نامه‌ها مانند ACI و AASHTO بخش‌های جداگانه‌ای را به بتن مسلح و بن پیش تبیده اختصاص داده‌اند در حالی که به اعضای تا حدودی پیش تبیده اشاره نشده است. تحقیقات متعددی در مورد بررسی نرمی در سازه‌های بتن مسلح معمولی به عمل آمده است [۱-۵]، در حالی که در رابطه با بتن پیش تبیده عمده‌است [۶-۹]. کاربرد روزافزون اعضای بتنی به صورت جزیی پیش تبیده احتیاج به مطالعه بیشتر روی نرمی مقاطع را می‌طلبد.

در این مطالعه به متغیرهای اساسی مؤثر بر رفتار مقاطع پیش تبیده بتنی پرداخته شده است. در این راستا از رابطه بین لنگر و انحنا برای پیش‌بینی نرمی مقاطع بتن پیش تبیده و به صورت جزیی پیش تبیده استفاده شده است.

۲- مروری بر کارهای انجام شده تاکنون

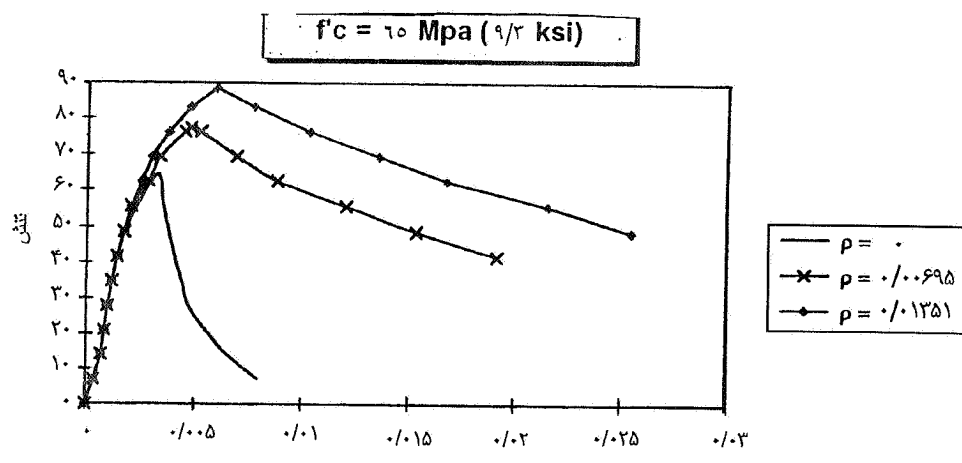
عمده‌تاً تحلیل روی مقاطع بتنی پیش تبیده توسط محققان مختلف، براساس همسازی کرنش و برقراری تعادل در مقطع برای مقادیر مختلفی از کرنش در دورترین تار فشاری بتن تا حد اکثر کرنش و مقادیر متناظر تنشها، لنگرهای و انحنای‌های آنها انجام می‌گیرد. تفاوت عمده بین روش این تحقیقات شامل نحوه مدلسازی مواد،

۱-۱- تحلیل انجام شده توسط پارک و پریستلی

روابط لنگر - انحنای که برای اعضای بتنی پیش تبیده به دست می‌آید همیشه در قسمتی از مقطع است که در آن ترک به وجود می‌آید، و معمولاً از رفتار عضو در بین ترکها صرف نظر شده است. در نظریه ارائه شده توسط پارک و پریستلی، روابط لنگر - انحنای اعضای بتنی پیش تبیده با در نظر گرفتن اثرات کششی بتن در بین ترکها بسط داده شده است. از تعاریف روابط تنش - کرنش بتن و فولاد و توزیع تنش چسبندگی بین ترکها استفاده شده است. در این روش از منحنی پیشنهادی هوگنستد برای رفتار بتن در فشار با برخی اصلاحات استفاده شده است. صحبت نظریه با مقایسه با نتایج آزمایش روی تیرهای بتنی پیش تبیده به ابعاد $10 \times 20 \times 20 \times 4265 \text{ mm}^3$ کنترل شده است.

۱-۲- تحلیل انجام شده توسط براتلت و کوهن

تحلیل غیرخطی انجام شده توسط براتلت و کوهن روی تیرهای تیرهای جزیی پیش تبیده بتنی انجام شده است. آنها رفتار لنگر-انحنا و نرمی مقاطع را تحت اثر پارامترهای مختلف در تیرهای جزیی پیش تبیده بتنی مورد بررسی قرار دادند. عملیات محاسبه در دو سیکل به صورت کشسان خطی بر پایه مقطع بتن ترک نخورده و غیرخطی برای لنگرهای بزرگتر از حالت خطی است. پارامترهای اساسی مورد بررسی در تحلیل شامل حداکثر مقدار فولاد مسلح‌کننده، نسبت فولاد پیش تبیدگی به کل مساحت فولاد، مقدار



شکل ۱- نمونه‌ای از منحنیهای تنش-کرنش بتن غیرمحصور و محصور با درصدهای حجمی مختلف فولاد محصور کننده

١-٣- مدل مشخصات مواد

۱-۱-۳ بتن

منحنی تنش - کرنش بتن محصور نشده و محصور شده با مقاومت‌های بین $۲۶/۵$ تا ۸۰ MPa برای نواحی بلوك تنش فشاری بتن اعضای خمی به کار برده شده‌اند، شکل (۱). این منحنیها توسط یک مدل ارتوتروپیک وابسته به تنش، به همراه یک معیار مقاومت به دست آمده‌اند. این مدل پیش‌بینی قابل قبولی از رفتار بتن تحت تنشهای چندمحوری از جمله تنش سه‌محوری فشار-فشار - فشار ارائه می‌دهد. از اثر گرادیان کرنش به طور محافظه کارانه، در منحنیهای تنش - کرنش بتن صرف نظر شده است. مقاومت کششی بتن در مقطع ترک نخورده به صورت خطی و با مدول کشسانی فشاری E_c و حدگسیختگی f_c در نظر گرفته شده است. روابط زیر برای E_c و f_c براساس آیین نامه ACI [۱۴] مورد استفاده قرار گرفته‌اند.

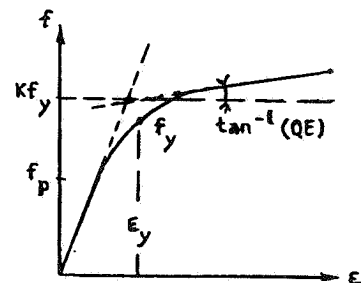
$$E_c = \omega_0 \cdot \sqrt{f'_c} \quad (1)$$

$$f_r = \sqrt{f_c'}$$

که در آنها f'_c مقاومت فشاری بتن بر حسب kg/cm^2 است.

۳-۱-۲ فولاد پیش‌تنیده

در سال ۱۹۷۳ منگتو و پیتو رابطه‌ای را برای فولاد مسلح کننده ارائه دادند که می‌توان از آن یک مجانب غیرافقی به دست آورد. برای این منظمه، آنها از دو بارامتر N و Q که در Q تابع شبیه قسمت دوم



$$F = E\varepsilon [Q + \frac{1-Q}{1+(E\varepsilon/kf_y)^N}]^{1/N}$$

$$Q = \frac{f_u - kf_v}{E\varepsilon_u - kf_y}$$

شکل ۲ - رابطه تحلیلی تنش - کرنش برای فولاد پیش تنیده

نیروی پیش‌تنیدگی و نوع و مقدار بارگذاری بوده است. در مطالعه حاضر یک ارزیابی پارامتری جامع از نرمی در مقاطع بتن پیش‌تنیده و به صورت جزیی پیش‌تنیده براساس یک تحلیل غیرخطی انجام شده است. همچنین از مدل‌های دقیق رفتار مصالح و پارامترهای بیشتر و فرضیات مناسب و محافظه کارانه‌تری، استفاده به عمل آمده است.

٣- تحلیل غیر خطی

برای ارزیابی دقیق نرمی مقاطع بتن پیش تنیده کامل و به صورت جزیی پیش تنیده یک تحلیل غیرخطی انجام شده است، که حوزه انتقال آزاد نبوده و شله است.

جدول ۱ - ضرایب مورد استفاده در روابط تحلیلی تنش - کرنش برای چند نوع فولاد پیش‌تنیده متداول

| نوع و مقاومت فولاد پیش‌تنیدگی | | | محدوده |
|---|---|--|--|
| میله (۱۱۰۰ MPa) | سیم (۱۶۲۰ MPa) | رشته (۱۸۶۰ MPa) | |
| N = ۴/۲۴ K = ۱/۰۴۷۳ Q = ۰/۰۱۸ | N = ۲/۹۱ K = ۱/۱۴۷ Q = ۰/۰۰۶۳ | N = ۴/۷۷ K = ۱/۱۳۴۱ Q = ۰/۰۱۱۹ | برای ارضای حداقل ارائه شده در استانداردهای ^۱ ASRM |
| N = ۷/۱ K = ۱/۰۰۴۱ Q = ۰/۰۱۷۵ برای E _{ps} = ۱۹۸۷۰۰ f _{py} = ۹۸۰ f _{pu} = ۱۱۰۰ ε _{pu} = ۰/۰۴۱ | N = ۶/۰۶ K = ۱/۰۳۲۵ Q = ۰/۰۰۶۳ برای E _{ps} = ۳۰۲۲۰۰ f _{py} = ۱۵۳۰ f _{pu} = ۱۶۸۰ ε _{pu} = ۰/۰۸۷ | N = ۷/۳۴۴ K = ۱/۰۶۱۸ Q = ۰/۰۱۱۷ برای E _{ps} = ۱۹۲۴۰۰ f _{py} = ۱۶۸۰ f _{pu} = ۱۹۲۰ ε _{pu} = ۰/۰۶۹ | نمونه‌ای از رفتار واقعی |

برای سیمهای و رشته‌ها و ۰/۰۰۷ برابر با میله‌ها E = ۱۸۶۳۰۰ MPa ε_{pu} = ۰/۰۴۰ برابر با میله‌ها ε_{py} = ۰/۰۱۰ f_{py} = ۰/۰۸۵ f_{pu} = ۱

$$f_s = E_s \epsilon_s \quad \epsilon_s \leq \epsilon_y \quad (3)$$

که در آن ϵ_y تنش، ϵ_u کرنش، E_s مدول کشسانی و ϵ_u کرنش تسليم فولاد است.

$$f_s = f_y \quad \epsilon_y < \epsilon_s \leq \epsilon_{sh} \quad (4)$$

که در آن ϵ_{sh} کرنش متناظر با شروع سخت کرنشی فولاد است.

$$f_s = Y(f_{su} - f_y) + f_y \quad \epsilon_s > \epsilon_{sh} \quad (5)$$

که در آن

$$Y = \frac{AX + BX^2}{1 + CX + DX^2} \quad X = \frac{\epsilon_s - \epsilon_{sh}}{\epsilon_{su} - \epsilon_{sh}}$$

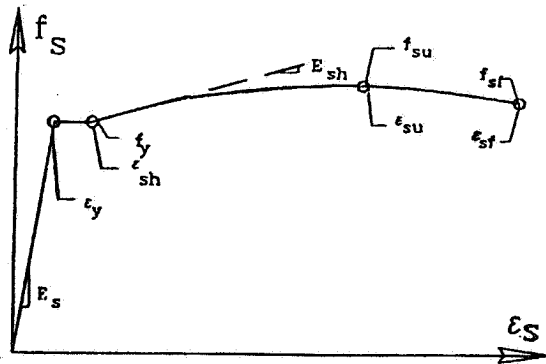
و f_{su} تنش حداکثر و ϵ_{su} کرنش متناظر با آن است. ϵ_u ، E_s ، ϵ_y ، E_y و ϵ_{sh} در شکل (۳) نشان داده شده‌اند. همچنین A، B، C و D ثابت‌هایی هستند که با استفاده از رگرسیون خطی روی نتایج آزمایش به دست آمده‌اند.

۲-۲- تحلیل مقطع

محاسبه و ارزیابی نرمی اعضای پیش‌تنیده بتنی به انتخاب

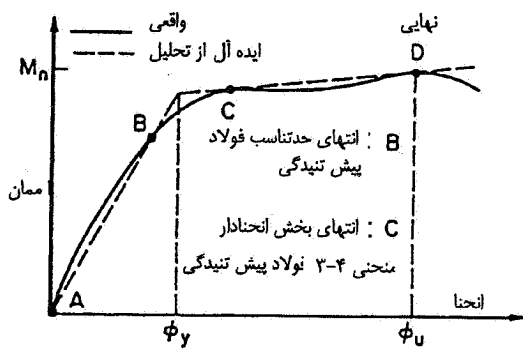
منحنی است استفاده کردند. فرمول و منحنی مربوطه در شکل (۲) ارائه شده است. اگرچه هدف اصلی آنها نشان دادن رفتار فولاد معمولی بود، ولی در سال ۱۹۷۹ متأک برای اولین بار از رابطه آنها برای مدل‌سازی رفتار فولاد پیش‌تنیده استفاده کرد. این روابط قسمت غیرخطی و دو قسمت خطی منحنی تنش - کرنش فولاد پیش‌تنیدگی را در مقایسه با نتایج آزمایش‌های موجود به نحو مطلوبی ارائه می‌دهند [۸]. جدول (۱) مقدار ضرایب مورد استفاده برای مدل کردن رفتار فولادهای پیش‌تنیده را ارائه می‌دهد. دو سری از این ضرایب در جدول آورده شده است که یکی با گذراندن منحنی از نقاط مربوط به حداقل مشخصات ذکر شده در ASTM و دومی با استفاده از نقاط منحنی واقعی به دست آمده است. از این مدل در تحلیل نرمی اعضای پیش‌تنیده بتنی مطالعه حاضر استفاده شده است.

۳-۱-۳ فولاد مسلح کننده معمولی
مدل منحنی کامل تنش - کرنش فولاد مورد استفاده، براساس روابط پیشنهادی توسط ونگ، شاه و نعمان [۱۲] است. این مدل بر پایه نزدیکترین نمودار به نتایج آزمایشگاهی بر روی تعداد زیادی میله آرماتور فولادی با تنشهای تسليم مختلف به دست آمده است. مدل پیشنهادی سه محدوده کرنش را در نظر می‌گیرد



شکل ۳- منحنی تنش- کرنش و مقادیر مشخصه روی منحنی فولاد مسلح معمولی

فشاری بتن است که با نیروی کششی خالص در اعضایی که به طور خارجی تحت نیروی محوری نباشند برابر است. کمترین مقدار w بستگی به مقدار لنگر ترک خوردنی مقطع دارد و مقدار حداقل مجاز در ACI برابر $1/\beta_1 \cdot 36\beta$ است و نشان‌دهنده مقدار فولادی است که در آن تسلیم در فولاد زودتر از تخریب در بتن فشاری اتفاق می‌افتد. بر اساس آیین نامه ACI، β وابسته به مقاومت فشاری بتن و p وابسته به نسبت مقاومت تسلیم به مقاومت نهایی فولاد پیش‌تیدگی است.



شکل ۴- تعریف تسلیم برای تعیین نرمی

۴-۳- انحنای تسلیم و نهایی

در این مطالعه از تعریف پیشنهادی نعمان و هاراجلی [۹] برای انحنای تسلیم (ϕ_y) که بر پایه شکل روابط ممان - انحنای مقطع استوار است استفاده به عمل آمده است. انحنای تسلیم از تقاطع دو خط نشان داده شده در شکل (۴) به دست می‌آید که خط اول از امتداد قسمت خطی ابتداء منحنی لنگر - انحنا و خط دوم از امتداد قسمت نهایی منحنی به دست می‌آید.

انحنای نهایی (ϕ_u) در این مطالعه مربوط به انحنای متناظر با حداقل لنگر مقاوم است. این ممکن است منجر به مقادیر محافظه کارانه‌ای در نرمی عضو شود به این علت که ظرفیت تغییر مکان قابل توجهی بعد از لنگر حداقل می‌تواند وجود داشته باشد. برای در نظر گرفتن این اثر پارک و پالی [۱۳] پیشنهاد کردند که انحنای نهایی متناظر با 8.8% بار نهایی در نظر گرفته شود. در اکثر تحلیلها و نتایج تجربی به ندرت به مقاومت 8.8% لنگر حداقل در تغییر شکلهای بالا می‌رسیم، بدین معنی که بخش بعد از لنگر حداقل عمدهاً به صورت افقی و در برخی موارد با شیب کمی به طرف بالاست. لذا نتایج به دست آمده از این مطالعه در جهت محافظه کارانه خواهند بود.

متغیر مستقل اصلی (در اینجا اندیس فولادگذاری w)، نحوه تعریف انحنای تسلیم ϕ_y و انحنای نهایی ϕ_u ، فرضیات و مراحل تحلیل غیرخطی بستگی دارد که در زیر به آنها پرداخته شده است.

۳-۳- اندیس فولادگذاری

اندیس فولادگذاری در این مطالعه به صورت زیر تعریف شده است.

$$w = \frac{\left(A_{ps} f_{ps} + A_{sf} f_s - A'_s f'_s \right)}{\left(b d f'_c \right)} \quad (6)$$

برای پیش‌بینی تنش f_{ps} در فولاد پیش‌تیدگی در ظرفیت نهایی یک مقطع بتنی از فرمول زیر مندرج در آیین نامه ACI استفاده شده است.

$$f_{ps} = f_{pu} \left\{ 1 - \frac{\gamma_p}{\beta_1} \left[\rho_p \frac{f_{pu}}{f'_c} + \frac{d}{d_p} (\omega - \omega') \right] \right\} \quad (7)$$

که در آن

$$\omega = \frac{A_s f_y}{b d f'_c}, \quad \omega' = \frac{A'_s f'_s}{b d f'_c}, \quad \rho_p = \frac{A_{ps}}{b d_p}$$

برای یک مقطع خمی، w مستقیماً متناسب با برآیند نیرو در ناحیه

۳-۵- فرضیات

فرضیات زیر در تحلیل در نظر گرفته شده‌اند

۱- بارگذاری به صورت استاتیکی اعمال می‌شود.

۲- چسبندگی کامل بین کابل پیش‌تنیده با بتن محیطی وجود دارد.

۳- از اثرات برش صرف نظر شده است.

۴- صفحات بعد از خمش به صورت صفحه باقی می‌مانند (توزیع

خطی کرنش).

۵- از روابط دقیق برای تنش - کرنش مواد استفاده شده است.

۶- تنش مؤثر پیش‌تنیدگی (بعد از تلفات) مشخص است.

۷- در نظر گرفتن رفتار مقطع به صورت کشسان خطی تا حدی که انحنای مقطع صفر می‌شود.

۸- در نظر گرفتن مقاومت کششی بتن تا قبل از اینکه تنش کششی در بتن از مقدار گسیختگی بیشتر شود.

۳-۶- مراحل انجام تحلیل و مشخصات برنامه رایانه‌ای

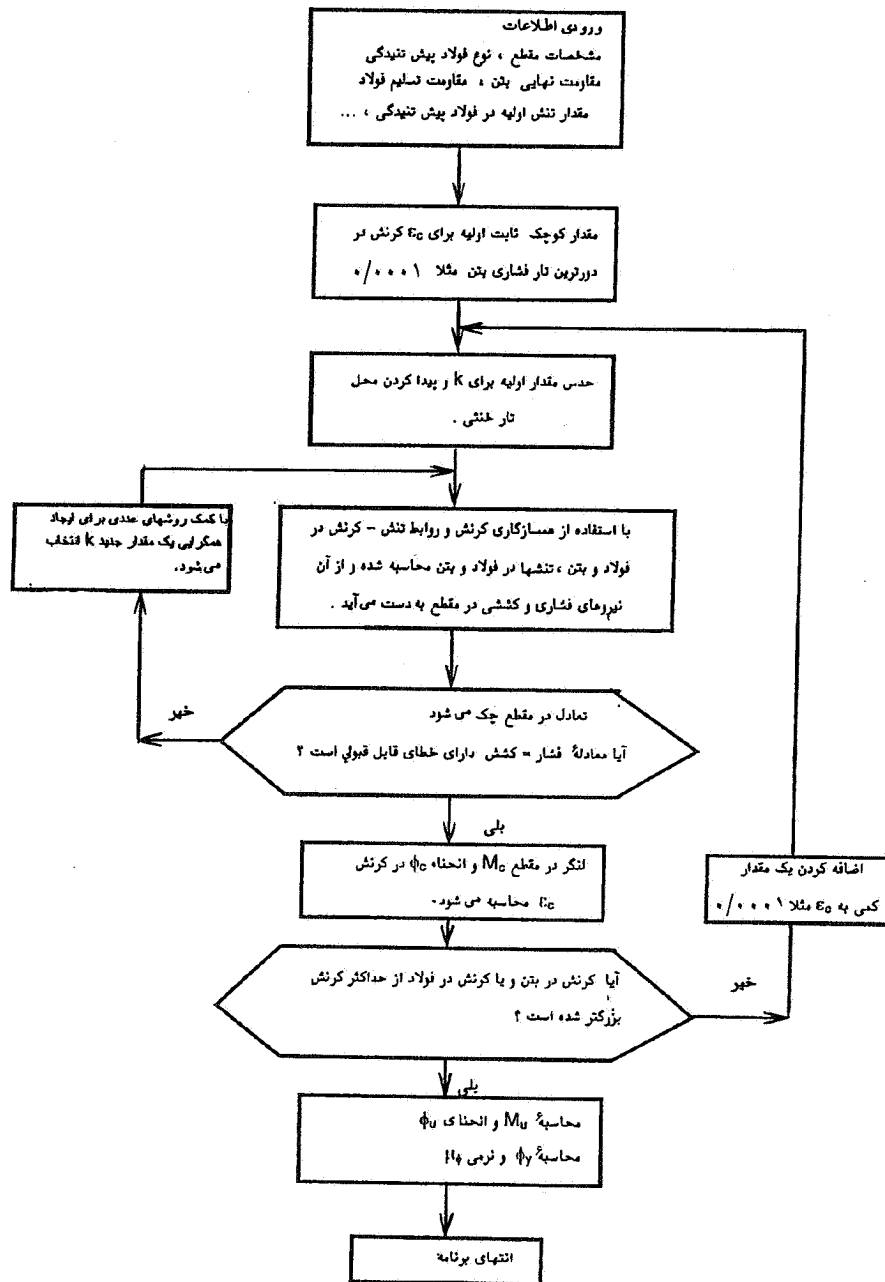
عمل تحلیل شامل تعیین حالت سازگاری و تعادل برای مقادیر مختلف ϵ_{cc} (از صفر تا حداًکثر مقدار کرنش در بتن، ϵ_{cu}) و لنگرهای انحنایی متناظر و نرمی (ϕ_y/ϕ_u) و M_y/M_u است. محاسبات تحلیل توسط یک برنامه رایانه‌ای شامل دو قسمت کشسان خطی و غیرخطی انجام شده است. قسمت تحلیل کشسان خطی محدوده‌ای از بارگذاری از مقدار لنگر صفر و انحنای منفی شروع شده و تا حد انحنای صفر در مقطع ادامه می‌یابد. در این قسمت روابط تنش - کرنش در بتن خطی فرض شده و با فرض مقطع ترک نخورد و با استفاده از روابط مکانیک جامدات در ارتباط با مقاطع تبدیل یافته لنگر و انحنای محاسبه می‌شود.

در قسمت تحلیل غیرخطی (در محدوده انحنای مثبت) بارگذاری روی مقطع با اضافه کردن کرنش در دورترین تار فشاری ادامه پیدا می‌کند و رفتار بتن در کشش خطی فرض می‌شود. مقدار نیروی کششی بتن در مقطع در دورترین تار کششی کمتر از کرنش متناظر با مدل گسیختگی در نظر گرفته می‌شود و پس از آن با فرض گسترش ترک تار خشنی مقطع، صفر در نظر گرفته شده است. در هر مرحله از بارگذاری برای هر مقدار از کرنش در دورترین تار فشاری بتن (ϵ_{cc}) و فرض یک مقدار اولیه برای kdp و با توجه به خطی بودن توزیع کرنش در مقطع، مقادیر کرنش در فولادهای

فشاری و کششی و پیش‌تنیده قابل محاسبه می‌شوند. سپس نیروهای بوجود آمده در فولادهای معمولی و پیش‌تنیده با توجه به روابط تنش - کرنش در مدل انتخابی برای آنها و سطح مقطع هر کدام محاسبه می‌شوند. مدل مقطع بتن در قسمت بالای تارخنی به تعداد محدودی نوار هم ضخامت به موازات تارخنی با این فرض که در هر نوار تنش و کرنش ثابت باشد، تقسیم می‌شود. پس از محاسبه کرنش در مرکز هر نوار، مقدار تنش در هر نوار و سپس کل نیروی فشاری محاسبه می‌شود.

پس از محاسبه تمامی نیروهای فشاری و کششی در مقطع، رابطه تعادل مورد بررسی قرار می‌گیرد و در صورت لزوم مقدار k_t نیل به تعادل تغییر داده می‌شود و سپس لنگر و انحنای محاسبه می‌شوند. انهدام مقطع در حداًکثر کرنشها در بتن و یا فولاد پیش‌تنیده انجام می‌شود. برای محاسبه نرمی قبل از محاسبه نسبت ϕ_y/ϕ_u اصلاحاتی روی مقادیر ϕ_u و ϕ_y انجام می‌گیرد. با توجه به اینکه تیرهای پیش‌تنیده در حالت بدون بار دارای انحنای منفی‌اند قبل از محاسبه این نسبت، کل منحنی به مقدار این انحنای اولیه به سمت راست حرکت داده می‌شود و یا به هر کدام از مقادیر صورت و مخرج کسر این مقدار اولیه اضافه شده است.

برنامه رایانه‌ای پس از خواندن فایل ورودی تمامی مشخصات مقطع و نوع مدل‌سازی برای مصالح مورد استفاده، تحلیل مقطع را تا مقدار نهایی کرنش در بتن و یا فولاد انجام داده و سپس مقادیر نرمی و اعداد مربوط به نمودار لنگر - انحنای در دو فایل خروجی ثبت می‌شوند. این برنامه قادر است مقاطعه بتنی را با (۱) اشكال مستطیلی، I شکل، T شکل و جعبه‌ای، (۲) مدل بتن محصور نشده به دو صورت استفاده از روابط تحلیلی هونگستد و یا با کمک منحنی‌های واقعی تنش - کرنش بتن تا مقاومت MPa (۳)، (۴) مدل بتن محصور شده در خاموت مستطیلی به دو صورت استفاده از روابط تحلیلی کنت و پارک با وارد کردن مقادیر نسبت حجمی فولاد خاموت به هسته و فاصله خاموتها به عرض هسته و یا همچنین با کمک منحنی‌های واقعی مانند آن در شکل (۱)، (۴) مدل فولاد پیش‌تنیدگی با استفاده از روابط منگتو و پیتو در دو حالت واقعی و یا مقادیر حداقل ارائه شده در استاندارد ASTM برای سه نوع متداول فولاد پیش‌تنیدگی شامل کابل، سیم و میله فولادی با مقاومت‌های نهایی به ترتیب ۲۷۰ و ۳۲۵ و ۱۶۰ ksi (۵) مدل فولاد مسلح‌کننده معمولی برای



شکل ۵- روند نمای کلی نحوه تحلیل غیرخطی

برای بررسی اثر هر پارامتر روی رابطه ممان - انحنا و نرمی مقاطع یک حالت مبنا در نظر گرفته شده و فقط پارامتر مورد مطالعه تغییر کرده است. حالت مبنای مقاطع مستطیل R شکل با مشخصات زیر است

- فولادهای کششی و فشاری با مقاومت تسلیم

$$f_y = 60 \text{ ksi} (416 \text{ MPa})$$

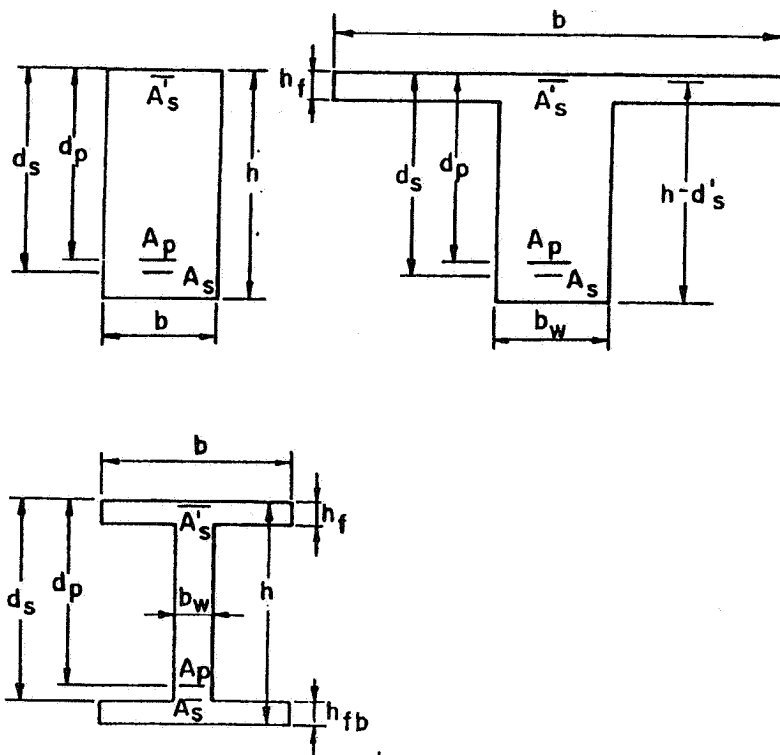
- تاندون پیشتنیدگی با مقاومت نهایی

$$f_{pu} = 270 \text{ ksi} (1863 \text{ MPa})$$

فولاد کششی و فشاری با استفاده از روابط ونگ، شاه و نعمان تحلیل کند. روند نمای کلی نحوه تحلیل مقاطع در شکل (۵) ارائه شده است.

۴- ارزیابی پارامترهای مؤثر روی نرمی

از سه شکل متداول برای مقاطع بتی پیشتنیدگی به صورت مستطیلی R، I شکل و T شکل در این تحلیل استفاده شده است. مشخصات مقاطع در شکل (۶) و ابعاد آن در جدول (۲) آمده است.



شکل ۶- مقاطع مورد مطالعه

جدول ۲- ابعاد مقاطع مورد استفاده

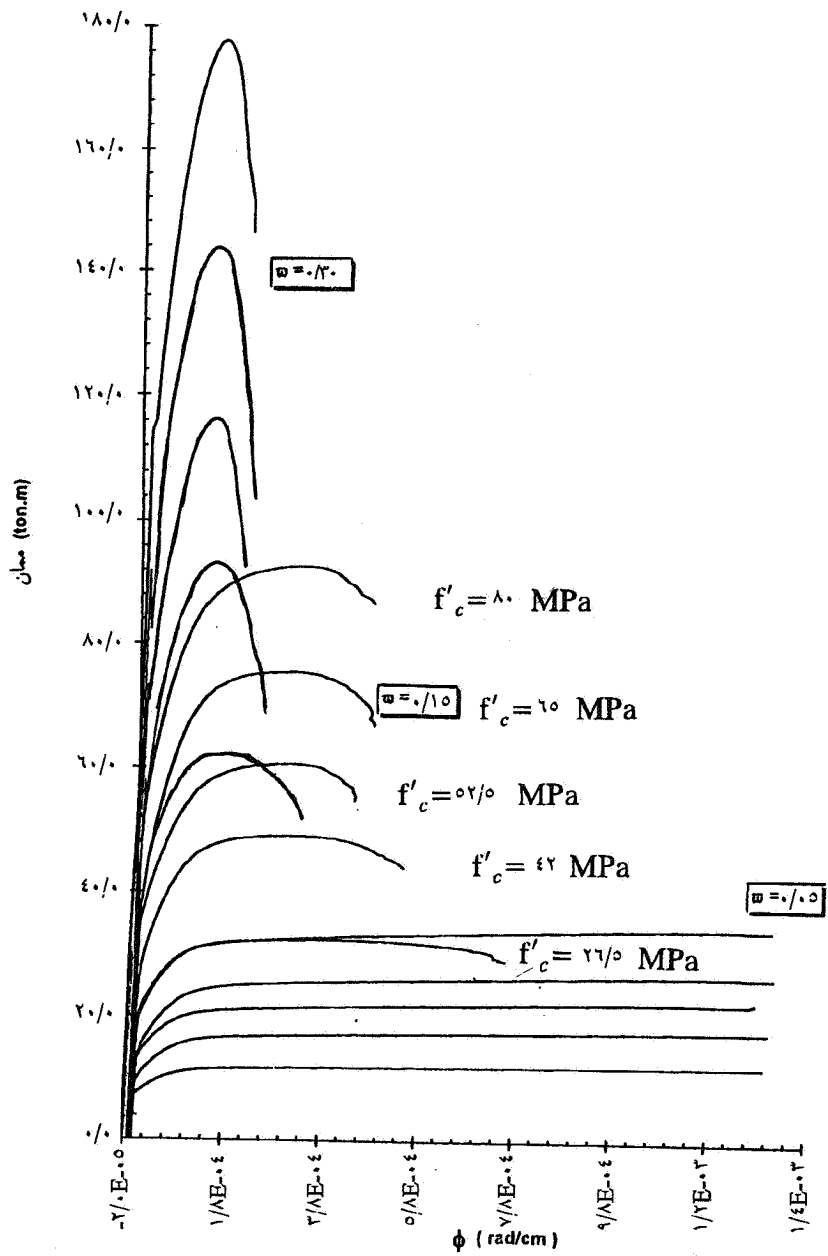
| h (cm) | b (cm) | b_w (cm) | h_f (cm) | d_p (cm) | d_s (cm) | d'_s (cm) | مقطع |
|--------|--------|----------|----------|----------|----------|-----------|------|
| ۶۱ | ۳۰/۵ | - | - | ۵۲ | ۵۶ | ۵ | R |
| ۶۱ | ۶۱ | ۳۰/۵ | ۷/۵ | ۵۲ | ۵۶ | ۵ | I |
| ۶۱ | ۶۱ | ۳۰/۵ | ۷/۵ | ۵۲ | ۵۶ | ۵ | T |

به عنوان متغیر اصلی (مانند مقاطع بتن آرمه معمولی) کاملاً متفاوت باشد. (۲) در صورت فرمول $\frac{f'_c}{f'_c + f_{pe}}$ با توجه به اینکه A'_s به صورت منفی آمده است، برای یک $\frac{f'_c}{f'_c + f_{pe}}$ ثابت با افزایش در A'_s را سبب می شود) مقدار A_{ps} باید اضافه شود. به این معنی که با تقویت ناحیه فشاری مقطع، ظرفیت ناحیه کششی نیز افزایش یافته و بررسی اثر $\frac{f'_c}{f'_c + f_{pe}}$ روی مقطع با بررسی اثر $\frac{f'_c}{f'_c + f_{pe}}$ متفاوت خواهد بود.

۴-۱-۴- مقاومت بتن

اثر مقاومت بتن روی منحنیهای ممان - اتحنا بتن غیرمحصور در شکل (۷) برای $\frac{f'_c}{f'_c + f_{pe}}$ با سه مقدار $۰/۰۵$ ، $۰/۰۱۵$ و $۰/۰۳۰$ به طور مجزا نشان داده شده است. مشاهده می شود که برای هر یک از

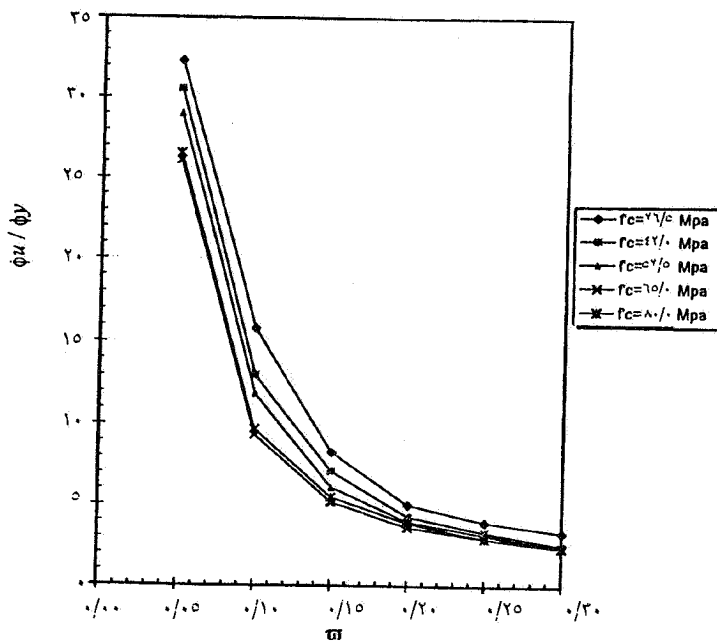
- بتن غیرمحصور با مقاومت فشار $f'_c = ۵۲ \text{ MPa}$
- نسبت نیرو در فولاد فشاری $\gamma = ۰$
- نسبت پیش‌تنیدگی جزیی $PPR = ۱$
- تنش مؤثر اولیه $f_{pe} = ۰/۶ f_{pu}$ است.
- بتن غیرمحصور با مقاومت فشار $f'_c = ۵۲ \text{ MPa}$
- نسبت نیرو در فولاد فشاری $\gamma = ۰$
- نسبت پیش‌تنیدگی جزیی $PPR = ۱$
- تنش مؤثر اولیه $f_{pe} = ۰/۶ f_{pu}$ است.
- اندیس فولادگذاری $\frac{f'_c}{f'_c + f_{pe}}$ به عنوان متغیر اصلی در هر تحلیل از مقادیر $۰/۰$ تا $۰/۳۰$ تغییر داده شده است. با قبول $\frac{f'_c}{f'_c + f_{pe}}$ به عنوان متغیر اصلی در این تحلیلها دو نکته اساسی قابل ذکر است: (۱) با توجه به اینکه در معادله (۶) مقدار $\frac{f'_c}{f'_c + f_{pe}}$ در مخرج قرار دارد به ازای یک $\frac{f'_c}{f'_c + f_{pe}}$ ثابت مقدار فولاد کششی پیش‌تنیده A_{ps} با افزایش در $\frac{f'_c}{f'_c + f_{pe}}$ افزایش می‌یابد. به همین دلیل نتایج به دست آمده از مطالعه اثر $\frac{f'_c}{f'_c + f_{pe}}$ روی نرمی مقاطع می‌تواند با نتایج انتظاری از تحلیل با فرض $\frac{A_{ps}}{b d p} = ۰$



شکل ۷- اثر مقاومت بتن روی منحنی ممان - انحنا برای اندیشهای فولادگذاری مختلف

می‌یابد. برای همین تغییر در مقاومت بتن برای $\psi = 0/2$ ، نرمی از ۵ به ۴ (حدود ۲۰ درصد) کاهش می‌یابد. حداقل نرمی برای بتن افزایش یافته و طول قسمت غیرخطی منحنی یا نرمی کاهش می‌یابد. همچنین در مقادیر بالای ψ با افزایش در f'_c ، مقدار کاهش بتن نرمی کاهش می‌یابد، لیکن به طور کلی مقدار این کاهش کمتر از اثر کاهش نرمی ناشی از افزایش در ψ است. لذا از دید طراحی در موارد استفاده از بتن با مقاومت بالا بسته به مقدار مقاومت برای حفظ نرمی باید از میزان ψ کاست.

مقادیر ψ با افزایش مقاومت در بتن، مقدار لنگر نهایی و لنگر تسليم افزایش یافته و طول قسمت غیرخطی منحنی یا نرمی کاهش می‌یابد. همچنین در مقادیر بالای ψ با افزایش در f'_c ، مقدار کاهش بیشتری در لنگر قبل از گسیختگی مقطع صورت می‌گیرد. نرمی (ϕ_y) با افزایش در ψ ابتدا با شیب بسیار تند و پس از مقدار $15/0$ با شیب کمتری کاهش می‌یابد، شکل (۸). برای $\psi = 0/5$ با افزایش مقاومت بتن از $5/2/5$ تا $26/5$ MPa (حدود ۱۶ برابر) نرمی انحنایی از 16 به 12 (به مقدار ۲۵ درصد) کاهش



شکل ۸- اثر مقاومت بتن روی رابطه بین نرمی و اندیس فولادگذاری

کمتر از تیرهای با بتن مقاومت معمولی است. نظر به اینکه با افزایش مقاومت بتن و حفظ مقدار محصوریت، شکل پذیری اعضا خمی بتن پیش‌تنیده کاهش می‌یابند لازم است تا مقدار محصوریت را در بتن با مقاومت بالا افزایش دهیم.

۴-۳- اثر پیش‌تنیدگی جزیی (PPR)

نسبت پیش‌تنیدگی جزیی، بنابراین به تعریف به کار رفته در تحلیل نسبتی از نیروی کششی در مقطع ترک خورده در حالت نهایی است که به فولاد پیش‌تنیدگی اختصاص دارد. این پارامتر از مقدار صفر برای مقطع بتن آرمه معمولی تا حد اکثر مقدار یک برای مقطع به طور کامل پیش‌تنیده تغییر می‌کند. این نسبت طبق فرمول زیر تعریف می‌شود.

$$PPR = \frac{A_{ps} f_{ps}}{A_{ps} f_{ps} + A_s f_y} \quad (8)$$

در نتیجه d_e بر حسب PPR به صورت زیر می‌آید

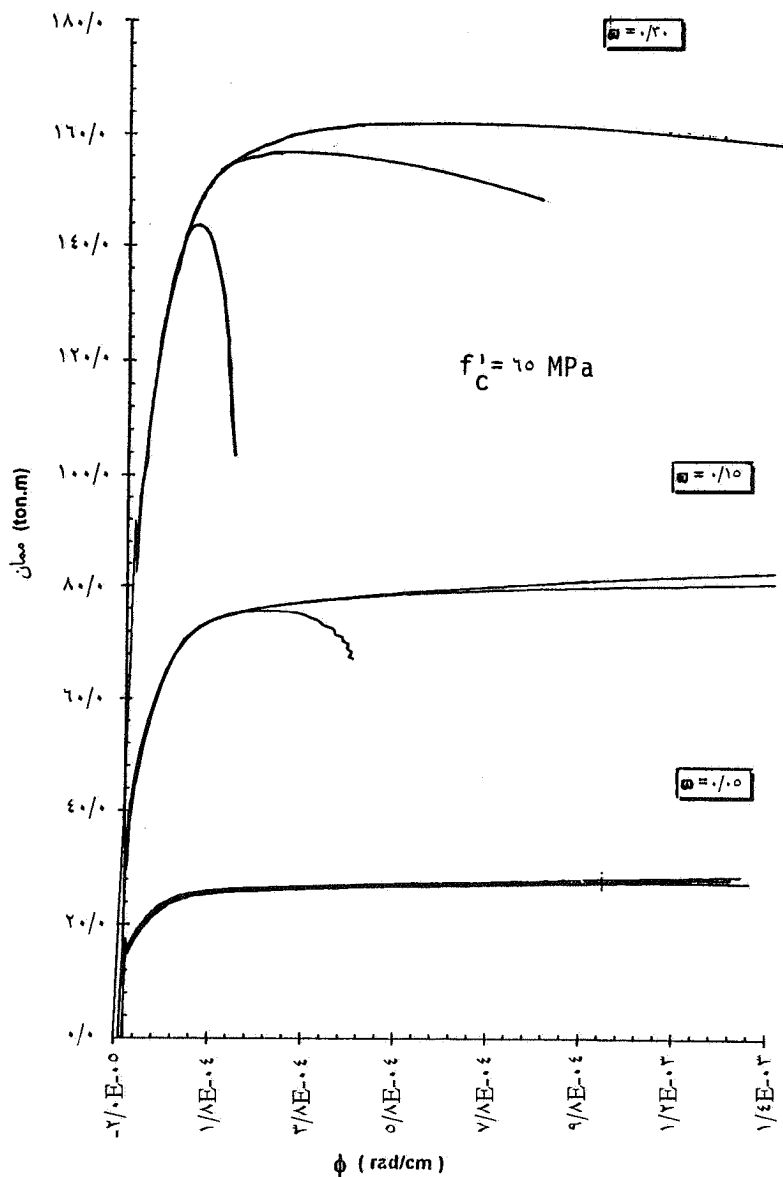
$$d_e = PPR \times d_p + (1-PPR) \times d_s \quad (9)$$

در منحنیهای ممان - انحنای شکل (۱۱) مقدار PPR از $1/0$ تا $1/0$ بر روی شکل مینا اعمال شده است. لازم به ذکر است که افزایش مقدار PPR از $2/0$ تا $1/0$ ، افزایش میزان فولاد پیش‌تنیدگی و

۴-۴- محصورشدنگی

در شکل (۹) منحنیهای ممان - انحنای بتن با مقاومت فشار 65 MPa و با سه سطح از محصورشدنگی که با نسبت حجم‌های خاموت محصورکننده به حجم هسته (ψ) نشان داده شده‌اند آمده است. برای هر یک از مقادیر ψ بخش اولیه منحنیها بر هم منطبق‌اند. برای مقادیر کم ψ محصورشدنگی اثر قابل توجهی روی منحنی لنگر - انحنای و لنگر نهایی ندارد ولی برای مقادیر بالاتر ψ (بیشتر از $10/0$) با افزایش در ψ اثر محصورشدنگی بسیار قابل توجه شده و طول قسمت غیرخطی منحنی در مقایسه با منحنی بدون محصورشدنگی افزایش چشمگیری پیدا می‌کند و دارای شیب کمتری می‌شود.

نرمی مقطع در حالت محصور شده بهبود زیادی پیدا می‌کند که این اثر در ψ های بین $1/0$ تا $2/0$ بسیار مشهودتر است، شکل (۱۰). نرمی انحنایی نیر در حضور محصوریت تا $\psi = 0/2$ کاهش اندکی را تجربه می‌کند و پس از آن شیب نزولی افزایش می‌باشد لیکن برای $\psi = 0/25$ مقدار نرمی برای محصوریتهای می‌باشد لیکن برای $\psi = 0/35$ و $0/40$ به ترتیب $11/1\%$ ، $2/9$ ، $6/9$ و $7/19$ است و برای $\psi = 0/3$ به ترتیب مقادیر $2/3$ ، $5/5$ و $8/7$ را دارد که اهمیت محسوس محصورشدنگی روی نرمی را نشان می‌دهد. اثر محصورشدنگی بر روی نرمی تیرهای با بتن مقاومت بالا



شکل ۹- اثر محصور شدگی روی منحنی ممان- انحنا برای اندیسهای فولادگذاری مختلف (منحنیهای با نرمی کمتر دارای مقدار f_c^y پایینترند)

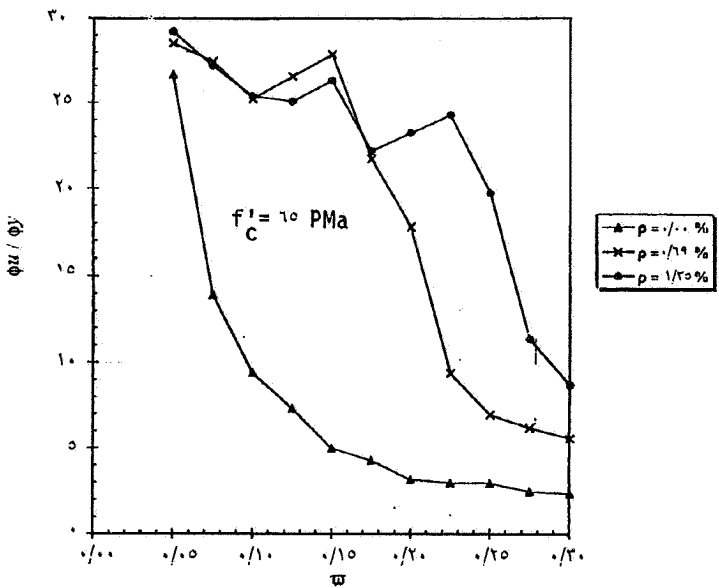
بالاتری بوده و رفتار مناسب و شکل پذیرتری از خود نشان می‌دهند. به طور کلی نقش PPR در نرمی انحنایی برای مقادیر ثابت ϖ (و $1/0 \geq \varpi$) نامحسوس است.

۴-۴- تنش مؤثر (f_{pe})

با کاهش در مقدار نیروی پیش‌تندگی مؤثر، از مقدار انحنای منفی اولیه ϕ کاسته می‌شود، دیگر اینکه تقریباً تمامی منحنیهای با f_c^y پایینتر در حوالی لنگر حداکثر به منحنیهای با

کاهش در فولاد معمولی را برای ϖ ثابت در بردارد. منحنیها نشان می‌دهند که برای تمامی مقادیر ϖ با کم شدن PPR به حداقل طوفیت لنگر مقطع اضافه شده و به لنگر تسlijm مقطع نیز اضافه می‌شود و این در حالی است که از طول قسمت غیرخطی (مومسان) منحنی کاسته می‌شود.

در شکل (۱۲) برای ϖ های بزرگتر از $1/0$ ، مقدار نرمی تقریباً مستقل از PPR است. همان طور که از نمودارهای لنگر- انحنا هم دیده می‌شود مقاطع با PPR بالاتر و ϖ کمتر از $1/0$ دارای نرمی



شکل ۱۰- اثر محصور شدگی روی رابطه بین نرمی و اندیس فولادگذاری

۴-۵- نسبت نیرو در فولاد فشار (γ)

این نسبت نشان‌دهنده نسبت نیرو در فولاد فشاری در حالت تسلیم به کل نیروی کششی مقطع است و طبق رابطه زیر تعریف می‌شود

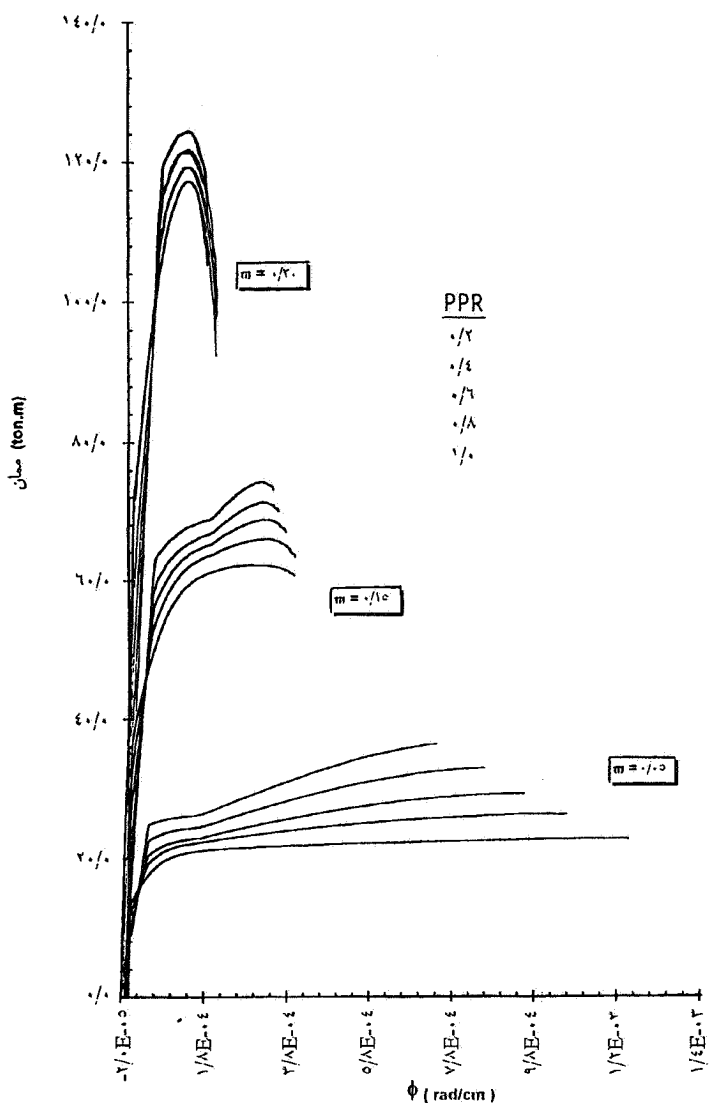
$$\gamma = \frac{A'_s f_y}{A_p f_{pu} + A_s f_y} \quad (10)$$

که مقدار γ می‌تواند حداقلی برابر صفر (حالت بدون فولاد فشاری) داشته باشد.

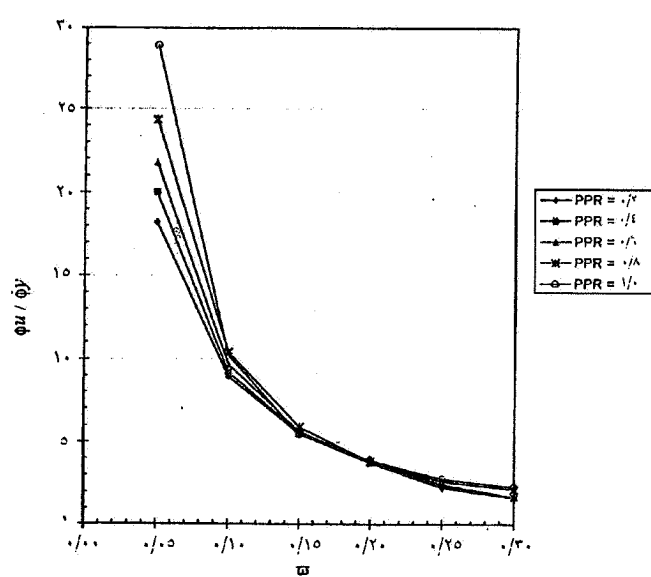
اثر مقادیر $\rho = 0.0\%$, 0.2% , 0.4% روی مقطع مبنا برای مقادیر مختلف اندیس فولادگذاری در منحنیهای ممان - انحنای شکل (۱۵) آمده است. در این شکلها با افزایش در γ و تقویت ناحیه فشاری، به لنگر تسلیم و حداکثر ظرفیت لنگر مقطع افزوده می‌شود. طول قسمت غیرخطی و بعد از لنگر حداکثر با اضافه شده در γ و بالا رفتن مقاومت خمی، کاهش پیدا نمی‌کند. به طور کلی اثر γ روی بخش کشسان منحنی $M-\phi$ برای اعضای بتونی پیش‌تنیده محسوس نیست و به عنوان معیاری برای کنترل نرمی در طراحی عضو به حساب نمی‌آید. نرمی در γ های بزرگتر از 1.0 تقریباً هیچ گونه اثربودی از لزندارد و فقط برای γ های کوچکتر با افزایش در γ نرمی کاهش پیدا می‌کند، شکل (۱۶).

می‌پیونددند، شکل (۱۳). برای هر مقدار ثابت $w̄$ ، به ویژه برای مقادیر بزرگتر از 0.05 اختلاف بین قابلیت لنگریدیری برای یک انحنای خاص قابل توجه است. مثلاً برای $w̄ = 0.25$ در انحنای $\gamma = 1.0$ مقدار ممکن برای f_{pe} های $0/15$, $0/30$, $0/45$ و $0/60$ به ترتیب برابر 50 , 64 , 64 و 88 است. این اختلاف گرچه برای γ های پایین کمتر است، لیکن از نظر عددی قابل توجه است. با افزایش مقدار f_{pe} ، منطقه مومنسان منحنی $M-\phi$ مستقل از $w̄$ افزایش می‌یابد.

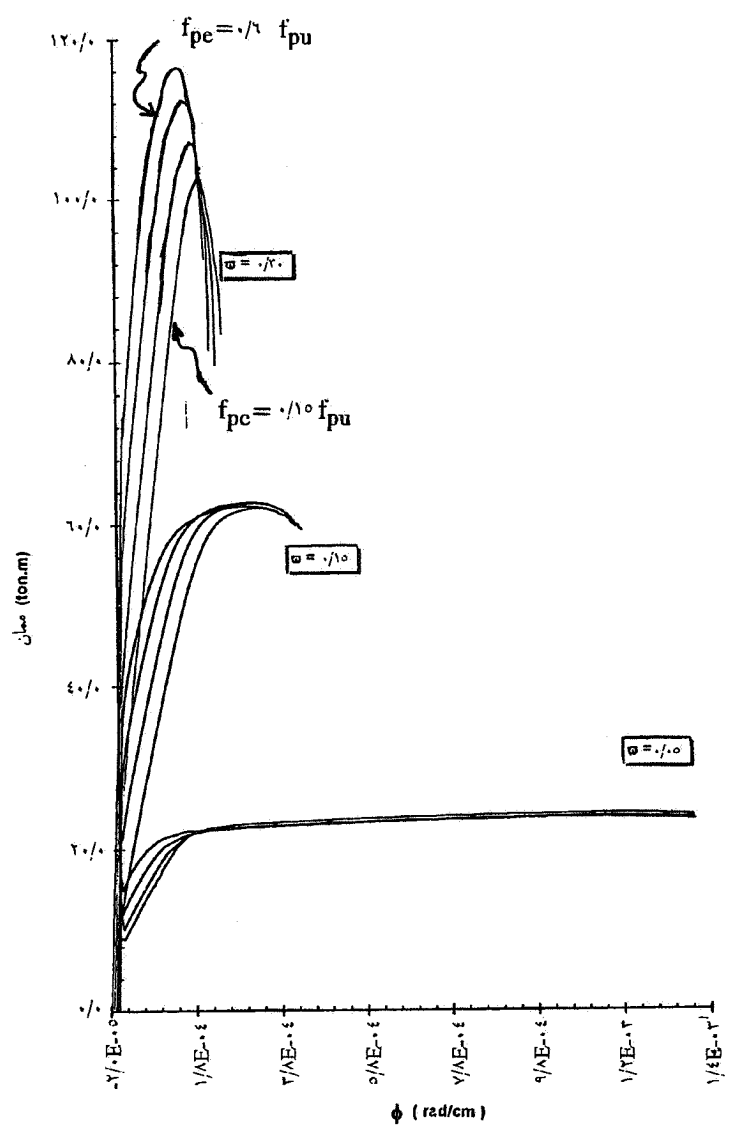
نرمی مقایسه شده در شکل (۱۴) نشان‌دهنده این مسئله است که به علت افزایش در مخرج کسر رابطه نرمی متانتظراً با کاهش f_{pe} این نسبت کوچک شده و نرمی کمتری به دست می‌آید. به عبارت دیگر با افزایش مقدار f_{pe} ، نرمی نیز افزایش می‌یابد. مقدار کاهش نرمی از $f_{pe} = 0/60$ به $f_{pe} = 0/15$ به $f_{pe} = 0/45$ قابل توجه است و پس از آن نرخ کاهش نرمی نیز کاهش می‌یابد. لازم به ذکر است برای $w̄ = 0.05$ و برای مقادیر f_{pe} برابر $0/15$, $0/30$, $0/45$ و $0/60$ مقدادر نرمی به ترتیب $7/5$, $9/8$, $14/0$ و $28/5$ و با اختلاف قابل توجه و برای $w̄ = 0.25$ به ترتیب $1/4$, $1/6$, $2/0$ و $3/0$ با اختلاف کم است. لذا در طراحی لازم است که مقدار $w̄$ را به حداقل $1/0$ برای $w̄ = 0.20$ و $w̄ = 0/15$ و $w̄ = 0/45$ و $w̄ = 0/20$ و $w̄ = 0/10$ و $w̄ = 0/60$ محدود شود. بالاتر برای $f_{pe} = 0/60$ محدود شود.



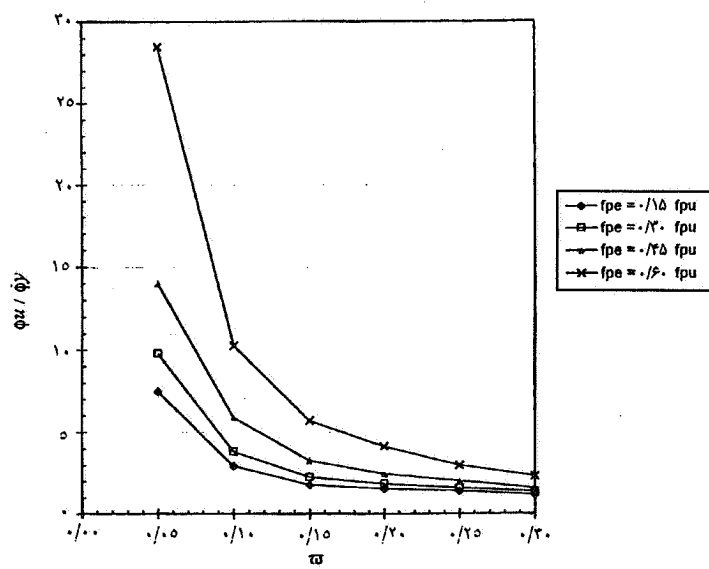
شکل ۱۱- اثر نسبت پیش تنیدگی جزیی روی منحنی ممان انحنا برای آندیسه‌های فولادگذاری مختلف



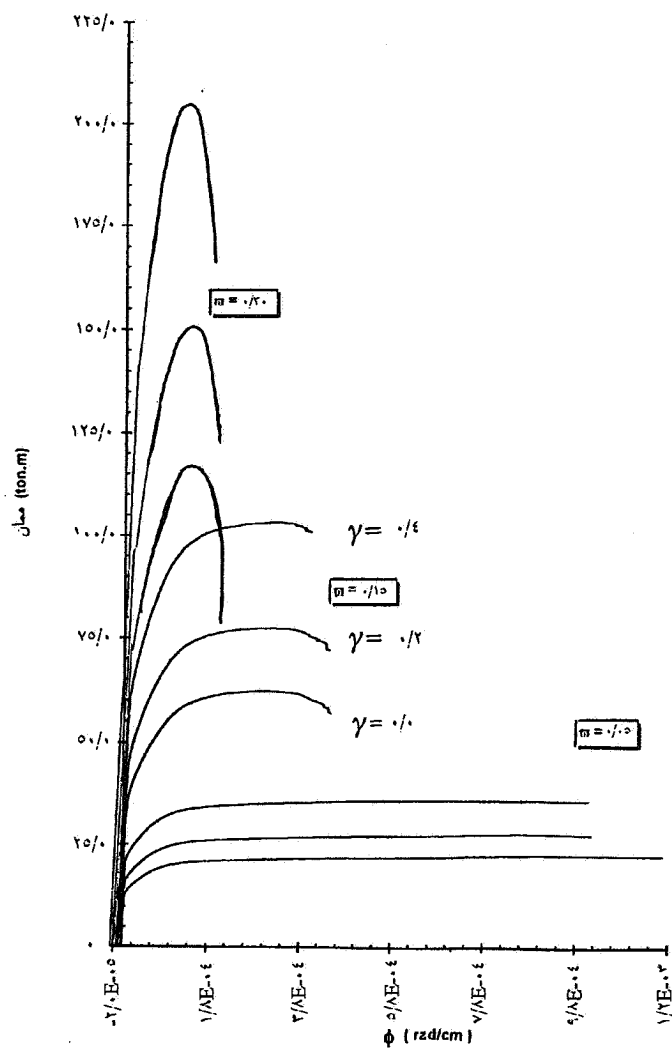
شکل ۱۲- اثر نسبت پیش تنیدگی جزیی روی رابطه بین نرمی و آندیسه‌های فولادگذاری مختلف



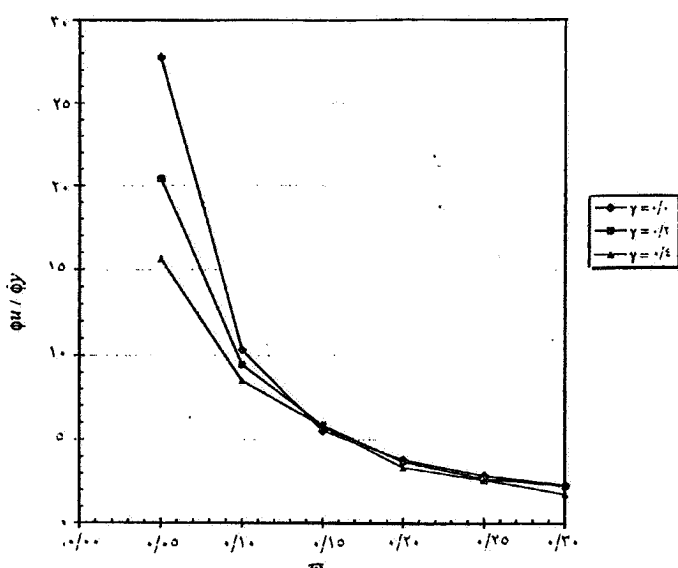
شکل ۱۳ - اثر تنش پیش تنیدگی مؤثر روی منحنی ممان - انحنا برای اندیسه‌های فولادگذاری مختلف



شکل ۱۴ - اثر تنش پیش تنیدگی مؤثر روی رابطه بین نرمی و اندیس فولادگذاری



شکل ۱۵- اثر نسبت فولاد فشاری روی منحنی ممان - انحنا برای اندیسه‌های فولادگذاری مختلف



شکل ۱۶- اثر نسبت فولاد فشاری روی رابطه بین نرمی و اندیس فولادگذاری

۶-۴- نوع فولاد

در منحنیهای ممان - انحنای شکل (۱۷) تغییر قابل ملاحظه ای در نمودارهای لنگر - انحنای در اثر تغییر در f_{pu} یا نوع فولاد بر روی لنگر حداکثر، لنگر تسلیم و یا طول منحنی دیده نمی شود. نمودارهای لنگر - انحنای کابل ($f_{pu} = 270 \text{ ksi} = 1860 \text{ MPa}$) و سیم ($f_{pu} = 235 \text{ ksi} = 1620 \text{ MPa}$) شبیه به هم بوده و نرمی بسیار نزدیک به هم دارند، شکل (۱۸). میله فولادی با منحنی تنش-کرنش کمی متفاوت با دو فولاد دیگر از نمودارهای لنگر-انحنای و نرمی با تفاوت کمی نسبت به دو نوع دیگر فولاد برخوردار است و برای کلیه مقادیر γ دارای نرمی بالاتری است.

به طور کلی اگر چه با کاهش مقدار مقاومت نهایی فولاد، نرمی نیز افزایش می یابد و با توجه به اینکه برای بتن پیش تنیده به دلیل جبران افتکاه مختلف و حفظ یک تنش اولیه، نیاز به f_{pu} بالاست، لذا مقدار نرمی و منطقه موسمان بدست آمده برای $f_{pu} = 270 \text{ ksi}$ برای طراحی مناسب است.

۷-۴- شکل مقطع

در شکل (۱۹) روابط ممان - انحنای در شکل (۲۰) نرمی برای مقاطع R ، I و T و مقادیر متفاوت γ آمده است. این سه نوع مقطع دارای ابعاد و سطح مقطعهای متفاوت (مطابق جدول ۱) بوده و برای مقایسه سه شکل، مقادیر لنگر و انحنای به صورت بدون بعد ترسیم شده اند. منحنیهای مربوط به مقاطع I و T به ویژه پس از ترک خوردن بسیار به هم نزدیک اند.

در تعریف آرائه شده از γ مطابق رابطه (۶) برای مقاطع بالدار به جای b از عرض جان w استفاده می شود، و این باعث می شود که اضافه کردن بال فشاری به مقطع مستطیلی و تقویت ناحیه فشاری هیچ گونه اثری در مقدار فولاد کششی نداشته باشد و در عمل مقاطع بالدار نسبت به مقاطع مستطیلی با γ ثابت و با همان عرض جان و ارتفاع، کم آرمه تر بوده و نرمی بیشتری از خود نشان می دهد. لیکن به طور کلی نرمی در سه سیستم اگر مستقل از این موارد در نظر گرفته شود تقریباً به طور یکسان است.

۵- نتیجه گیری

در این مطالعه به اثر متغیرهای اساسی بر رفتار لنگر - انحنای

نرمی اعضای پیش تنیده کامل و جزئی پیش تنیده بتنی پرداخته شده است. بر اساس یک تحلیل غیرخطی انجام شده، نتایج زیر حاصل شده است.

۱- اندیس فولاد گذاری (γ) مناسبترین متغیر مستقل برای بیان رفتار نرمی خمشی است. این متغیر اثرات چندین متغیر اساسی دیگر مانند مقاومت فشاری بتن و نسبت فولاد گذاری را در بر می گیرد. علاوه بر این چون بیان کننده نسبت نیروی کششی خالص در فولاد به نیروی فشاری در بتن است، اثر فولاد فشاری نیز در آن ملحوظ شده است.

۲- نرمی برای تمامی انواع مقاطع، مقدار نیروی پیش تنیدگی مؤثر (f_{pe})، نسبت فولاد فشاری (γ) و نسبت پیش تنیدگی جزئی (γ)، با بالا رفتن γ شدیداً کاهش می یابد. در طراحی برای بهبود در نرمی باید اندیس فولاد گذاری را کاهش داد. این عمل ممکن است با اضافه کردن به A' صورت بگیرد.

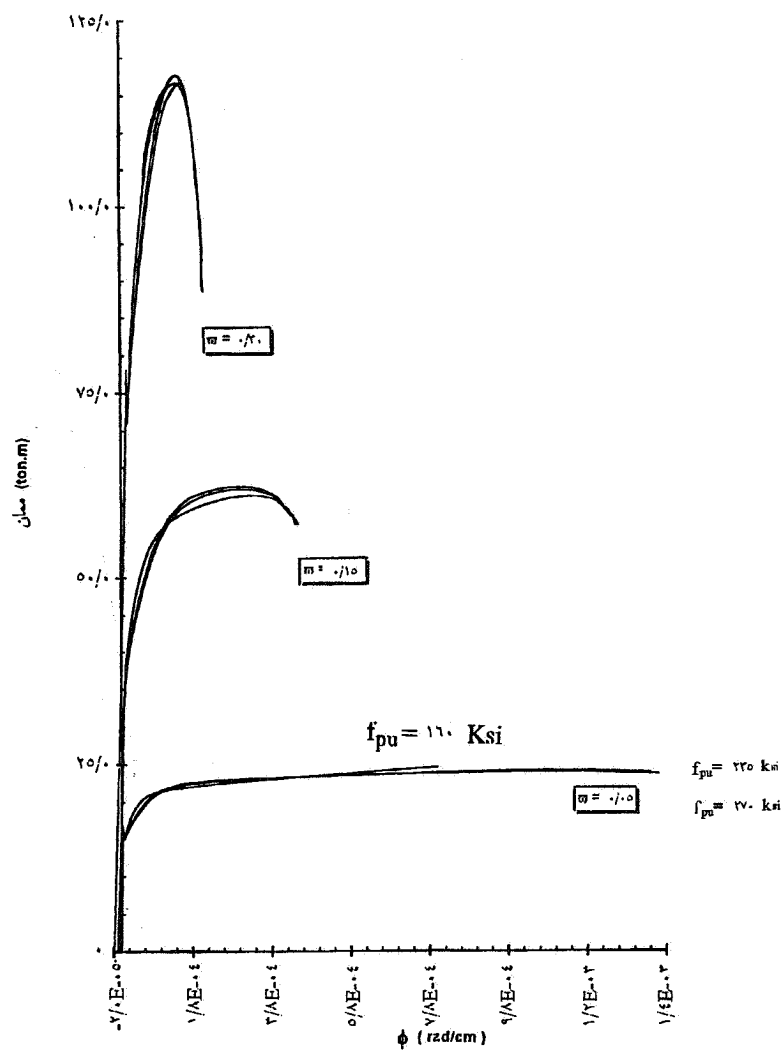
۳- افزایش در مقاومت فشاری بتن از $26/5 \text{ MPa}$ تا $80/0 \text{ MPa}$ باعث کاهش در نرمی تا حداقل 25% می شود. این کاهش برای مقاطع با اندیس فولاد گذاری پایین بیشتر است.

۴- نرمی اعضای سازه ای بتن آرمه و بتن پیش تنیده با ایجاد محصور شدگی به نحو قابل توجهی افزایش می یابد. در صورت عدم امکان ایجاد محصور شدگی در بعضی از مقاطع خمشی، کنترل در نرمی با کاهش اندیس فولاد گذاری می تواند انجام گیرد.

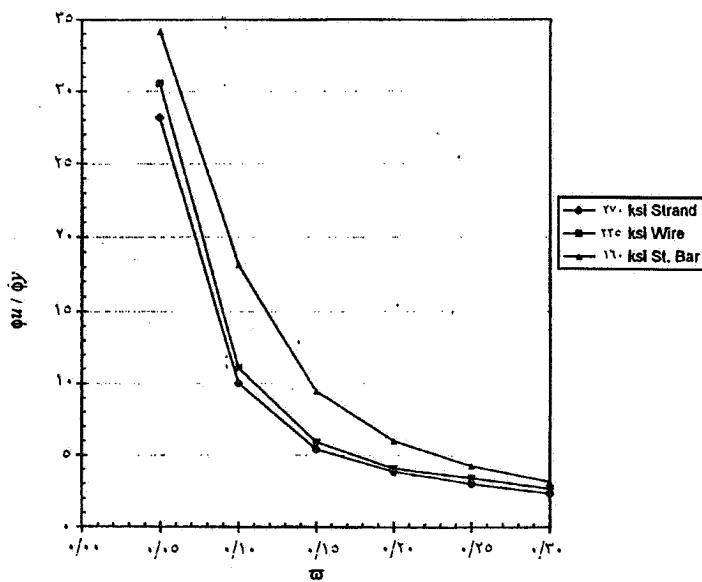
۵- برای تمامی مقادیر مساوی از اندیس فولاد گذاری تغییر اساسی در روند نرمی با تغییر دادن PPR از صفر تا یک (از پیش تنیده کامل تا بتن آرمه معمولی) ایجاد نرمی شود ($\gamma \geq 10/0$).

۶- کاهش در تنش مؤثر پیش تنیدگی (f_{pe}) با به تعویق انداختن مرحله تسلیم در مقطع، اثر نامطلوبی بر نرمی تیرهای به طور جزئی پیش تنیده بتنی دارد. این اثر برای تیرهای با PPR کم بی اهمیت می شود.

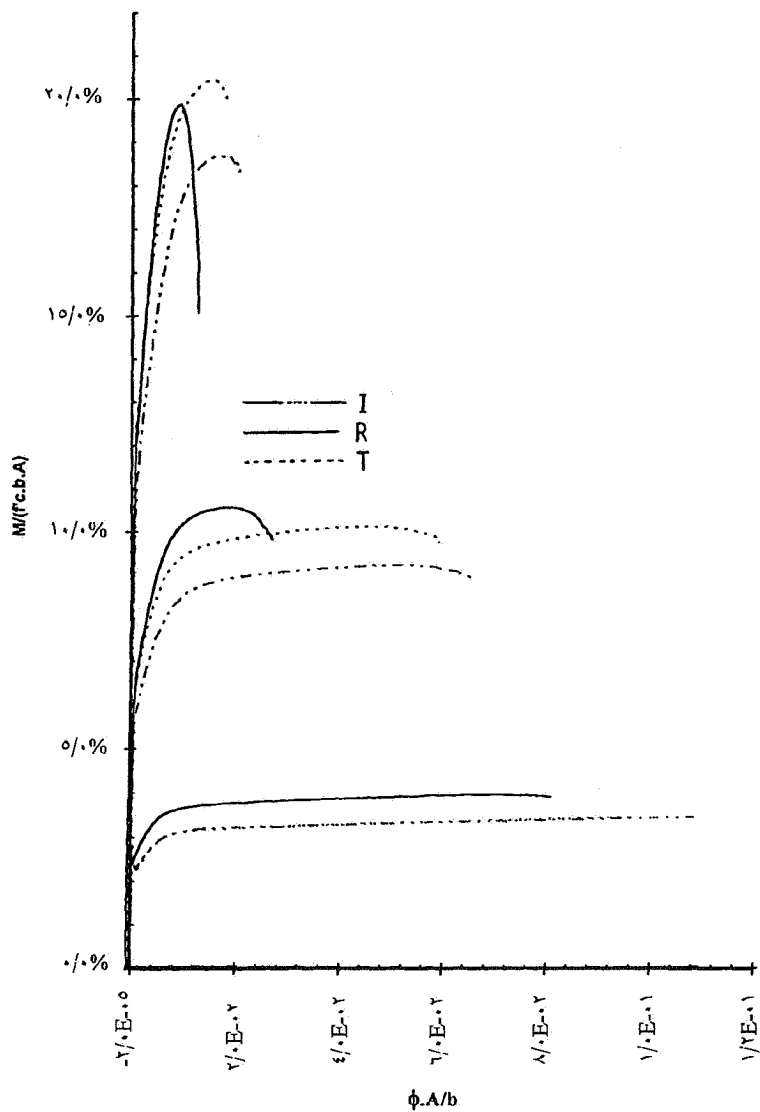
۷- برای مقادیر ثابت اندیس فولاد گذاری با افزایش در نسبت فولاد فشاری (γ) مقدار ظرفیت خمشی لنگر در مقطع به طور قابل ملاحظه ای افزایش می یابد در حالی که تأثیر قابل توجهی در نرمی برای $\gamma / 10 \geq \gamma$ ندارد. دلیل این امر به تعریف γ بر می گردد، بدین صورت که در γ ثابت با افزایش در A' اضافه شده و در نتیجه A_p نیز اضافه می شود که باعث افزایش در مقاومت خمشی مقطع بدون کاهش قابل توجهی در نرمی می شود.



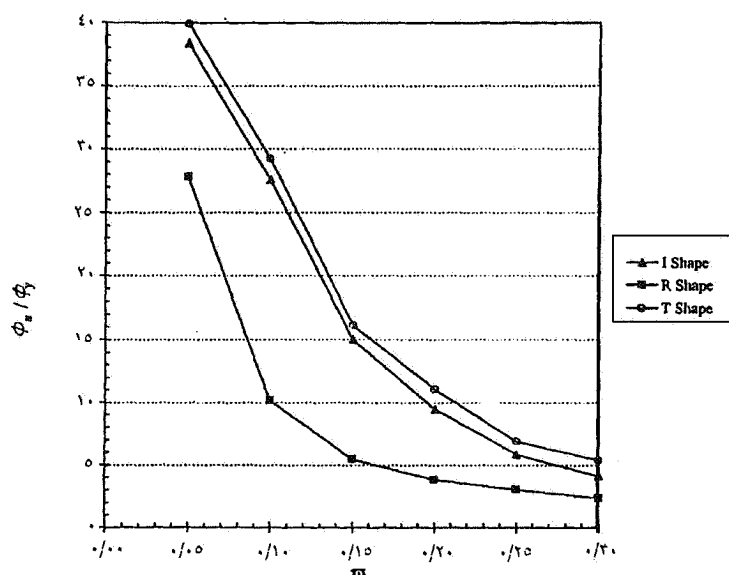
شکل ۱۷- اثر مقاومت نهایی فولاد پیش تنیده روی منحنی ممان - انحنا برای فولادگذاری مختلف



شکل ۱۸- اثر مقاومت نهایی فولاد پیش تنیده روی رابطه بین نرمی و اندیس فولادگذاری



شکل ۱۹- اثر شکل مقطع روی منحنی ممان - انحنا برای اندیشهای فولادگذاری مختلف



شکل ۲۰- اثر شکل مقطع روی رابطه بین نرمی و اندیس فولادگذاری

مقادیر بالاتر از 40% در این مطالعه به دست آمده است. نرمی خمثی 10% و بالاتر برای مقادیر π کمتر از 10% قابل حصول است.

قدردانی
بدین وسیله از حمایتهای معاونت پژوهشی دانشگاه صنعتی شریف در انجام این مطالعه قدردانی به عمل می‌آید.

-۸- به طور کلی با کاهش مقاومت نهایی فولاد پیش‌تنیدگی، نرمی افزایش می‌یابد. لیکن با توجه به موارد دیگر از جمله کنترل جبران افتها مختلف و حفظ یک تنش اولیه قابل قبول، به کارگیری فولاد با مقاومتهای بالاتر حائز اهمیت است.

-۹- مقدار نرمی در اعضای پیش‌تنیده بتنی، به طور کلی مستقل از شکل مقطع است.

-۱۰- در حداکثر اندازه فولادگذاری براساس آییننامه ACI (نمی انحنای بین $1/5$ تا $1/30$ قابل دسترسی است، در $\pi = 2/0\%$ که حداکثر مقدار برای امکان باز توزیع لنگر خمثی است،

مراجع

1. Pfrang, E.O., Siess, C.P. and Sozen, M.A., "Load-Moment-Curvature Characteristics of Reinforced Concrete Cross Sections," *ACI Journal*, pp. 763-777, July 1964.
2. Al-Haddad, M.S., "Curvature Ductility of Reinforced Concrete Beams Under Low and High Strain Rates," *ACI Structural Journal*, pp. 526-534, Sep.-Oct. 1995.
3. Khaloo, A.R., and Godrati, Amiri G.R., "Moment-Curvature Analysis of Confined Concrete Flexural Members," *Asian Journal of Structural Eng.*, Vol. 1, No. 2, pp. 103-125, summer 1995.
4. Corely, W.G., "Rotational Capacity of Reinforced Concrete Beams," *Journal of Structural Division, Proc. of ASCE*, Vol. 92, No. ST5, pp. 121-146, Oct. 1966.
5. Kent, D.C., and Park, R., "Flexural Members with Confined Concrete," *Journal of Structural Division, Proc. of ASCE*, Vol. 97, No. ST7, pp. 1969-1990, Jul. 1971.
6. Priestley, M.J.N., and park, R., "Moment-Curvature Relationships for Prestressed Concrete in Constant Moment Zones," *Magazine of Concrete Research*, Vol. 23, No. 75-76, pp. 69-78, July-Aug. 1971.
7. Thompson, K.J., and Park, R., "Ductility of Prestressed and Partially Prestressed Concrete Sections," *PCI Journal*, Vol. 25, No. 2, pp. 2747-2765, Mar.-Apr. 1980.
8. Naaman, A.E., "An Approximate Nonlinear Design Procedure for Partially Prestressed Concrete Beams," *Computer and Structures*, Vol. 17, No. 2, pp. 287-299, 1983.
9. Naaman, A. E., Harjli, M.H., and Wight, J.K., "Analysis of Ductility in Partially Prestressed Concrete Flexural Members," *PCI Journal*, pp. 64-87, May-Jun. 1986.
10. Cohn, M.Z., and Bratlett, M., "Computer Simulated Flexural Tests of Partially Prestressed Concrete Sections," *Journal of Structural Division, Proc. Of ASCE*, Vol. 108, No. ST12, pp. 2747-2765, Dec. 1982.
11. Ahmad, S.H., Shah, S.P., and Khaloo, A.R., "Orthotropic Model of Concrete for Triaxial Stresses," *ASCE Journal of Structural Engineering*, Vol. 112, No. 1, pp. 165-181, Jan. 1986.
12. Wang, P.T., Shah, S.P., and Naaman, A.E., "High Strength Concrete in Untimate Strength Design," *Journal of Structural Division, Proc. of ASCE*, Vol. 104, No. ST11, pp. 1761-1773, Nov. 1978.
13. Park, R., and Paulay, T., *Reinforced Concrete Structures*, John Wiley and Sons Publications, pp. 765, 1975.
14. "Building Code Requirements for Structural Concrete (ACI 318-95)," American Concrete Institute, pp. 369, 1995.